

تولید نانوذرات کربنی متخلخل از پیش ماده‌های نانوهیبرید بنزوئات لایه‌ای روی و بررسی کاربرد آن به عنوان کاتالیست کاتد پیل سوختی پلیمری

مرضیه آزاد فلاح^۱، محمد یگانه قطبی^{*} و سید صابر میرحسینی^۲

۱- دانشگاه ملایر، گروه مهندسی مواد، ملایر، ایران

۲- دانشگاه صنعتی مالک اشتر، گروه مهندسی مواد، اصفهان، ایران

تاریخ ثبت اولیه: ۱۳۹۳/۱۲/۱۱، تاریخ دریافت نسخه اصلاح شده: ۱۳۹۴/۰۱/۲۱، تاریخ پذیرش قطعی: ۱۳۹۴/۰۲/۰۸

چکیده

هیدروکسیدهای فلزی فاز آلفا (α -LH) مواد لایه‌ای هستند که ساختاری شبیه به هیدروکسیدهای لایه‌ای معروف‌تر LDH دارند. LH- α و نانوهیبریدهای آن‌ها پیش ماده‌های مناسبی برای ساخت نانوساختارهای اکسیدی فلزی دوب شده و دوب نشده، فلزات و آلیاژهای فلزی، همچنین برای مواد کربنی و کامپوزیت‌های کربن و اکسید فلزات هستند. در این مقاله به روش سنتز هم‌رسوبی، نانوهیبرید آلی-معدنی هیدروکسیدی لایه‌ای فاز آلفا با استفاده از نیترات هیدروکسید روی ($(Zn_5(OH)_8(NO_3)_2$) تولید گردید و فلزات واسطه‌ای همچون Ni و Co درون ساختار آن دوب شد و منبع کربنی نیتروبینزوئیک اسید به علت دارا بودن نیتروژن درون ساختار خود بین لایه‌های آن افزوده شد، سپس نانوهیبرید حاصله در دمای ۶۰۰ و ۷۰۰ °C تحت اتمسفر خنثی نیتروژن، عملیات حرارتی شده و منجر به تولید مواد کربنی به همراه اکسیدهای فلزی گردید. در انتهای برای از بین بردن اکسیدهای فلزی حاصل، محصول اسیدشویی شد. کاربرد ماده کربنی حاصل به عنوان الکتروکاتالیست در کاتد پیل سوختی پلیمری بررسی شد. در همه الکترودها به علت وجود کربن متخلخل و همچنین نیتروژن موجود در ساختار کربن، انتقال الکtron بهتر و واکنش احیای اکسیژن سریع‌تر انجام شد. پتانسیل‌های مدار باز بدست آمده از آنالیز LSV مقادیری در محدوده ۰/۸۵-۰/۸۵ V برای همه کاتالیست‌های فلزی غیر گرانبهنا نشان داد. این مقادیر به مقدار تئوری احیای پتانسیل استاندارد اکسیژن (۱/۲ V) بسیار نزدیک بوده است. دانسیته جریان تبدیل برای اکثر الکترودها مضبوط از 10^{-5} یا 10^{-6} و یا 10^{-7} و همچنین شب تافلی بدست آمده برای تمامی الکترودها در محدوده ۷۰ تا ۱۰۰ mV/dec بوده که بسیار نزدیک به پلاتین می‌باشد.

واژه‌های کلیدی: مزوبور کربنی، نانوکامپوزیت، جذب سطحی، Ag/CMK-3، Janus Green B

مواد لایه‌ایی با بارهای مثبت دارند با کاتیون‌های دو بار مثبت که در داخل ورقه‌هایی بروسايت (Brucite) مانند متبلور شده‌اند [۱]. مواد هیدروکسیدی بطور وسیع در کاربردهای صنعتی و پزشکی استفاده می‌شوند [۲-۵]. LH- α مواد هیدروکسیدی لایه‌ای هستند که رفتار

۱- مقدمه

هیدروکسیدهای فلزی فاز آلفا، مواد لایه‌ای هستند که ساختاری شبیه به هیدروکسیدهای لایه‌ای معروف‌تر (Layered double hydroxide) LDH دارند [۱]. این

* عهده‌دار مکاتبات: محمد یگانه قطبی

نشانی: استان همدان، شهرستان ملایر، دانشگاه ملایر
تلفن: ۰۲۶-۴۵۳۴۳۴۸، دورنگار: ۰۲۱-۳۷۷۵۴۴۳، پست الکترونیکی: yeganehghotbi@gmail.com

لایه‌های منظم، که جهت‌گیری‌های افقی، عمودی یا مورب دارند شکل گرفته و بنابراین نانوهیبرید حاصل بdst آید [۱]. این نانوهیبریدها خواص را نسبت به دیگر مواد بهبود بخشیده و گسترش داده است [۱].

مواد لایه‌ای و نانوهیبریدهای آن‌ها به عنوان پیش‌ماده برای تولید محصولات متنوع و جدید استفاده می‌شوند. با عملیات حرارتی مواد α -LH دوپ شده و دوپ نشده بطور مکرر، می‌توان آن‌ها را به عنوان پیش‌ماده برای تولید نانوکسیدهای فلزی مخلوط و نانوذرات سرامیکی در کاربردهای مختلف استفاده کرد [۷]. همچنین مواد کربنی مختلفی توسط عملیات حرارتی نانوهیبریدهای لایه‌ای آلی-معدنی مختلف، تهیه می‌شود. بنابراین نوع مواد لایه‌ای معدنی میزان و آنون خارجی جایگزین شده می‌توانند نقش خوبی در تعیین خواص تولیدات نهایی و اندازه مناسب ذرات ایفا کنند [۷].

با توجه به تولید کربن‌ها با ساختار و تخلخل مختلف و راحتی دوپ کردن لایه‌ها توسط عناصر مختلف در تولید α -LH و نانوهیبریدهای آن‌ها، بر آن شدیدم کربنی با قابلیت استفاده در پیل سوختی پلیمری به عنوان کاتالیست الکترود کاتد تهیه کرده تا جایگزین کاتالیست‌های پلاتینی شود. پیل‌های سوختی غشاء پروتون نوع پلیمری (Proton Exchange Membrane Fuel Cell: PEMFC) از نقطه نظر طراحی و کارکرد یکی از جذاب‌ترین انواع پیل سوختی است. اخیرا PEMFC‌ها از فازهای صرفاً تحقیقاتی به فاز تجاری شدن نزدیک می‌شوند، اما هنوز چالش‌های کاهش قیمت و فناوری مرتفع نشده است [۹]. کاتالیست مورد استفاده در این پیل سوختی اغلب از جنس پلاتین بوده و قیمت بالای آن مانع از استفاده وسیع پیل سوختی می‌شود، پس باید این کاتالیست در هر دو الکترود پیل سوختی کاهش یافته و یا جایگزین شود و همچنین جانشینی در کاتد تاثیر بیشتر و قابل مقایسه‌تری دارد زیرا واکنش احیای اکسیژن (Oxygen Reduction Reaction: ORR) در این الکترود کند است و نیازمند پلاتین بیشتری است [۹-۱۱].

واکنش احیای اکسیژن (ORR) از قدیمی‌ترین و چالش برانگیزترین مطالعات واکنش‌های الکتروشیمیایی است. روند کند ORR مانع پیشرفت فناوری‌های معاصر برای الکتروشیمیست‌ها شد و به عنوان مانع تجاری شدن فناوری

ساختاری آن‌ها شبیه به ماده بروسايت است [۲۶]. در واقع ساختارهای مختلف α -LH‌ها بر اساس اصلاح‌سازی ساختار بروسايت است. جانشینی جزئی گروه‌های هیدروکسیدی در هیدروکسیدهای معمولی فلزی (β) بوسیله مولکول‌های آب با آنیون‌های مناسب منجر به لایه‌های معدنی باز مثبت با فرمول $M(OH)_{2-x}(A^{m+})_{x/m}nH_2O$ می‌شود [۱، ۶]. آنیون مناسب یا آنیونی است که نیاز به خنثی شدن با بار مثبت ورقه‌های بروسايت مانند دارند. این مساله باید مد نظر مثبت را بگیرد که نوع آنیون‌ها در α -LH‌ها می‌تواند روی پایه ساختارهای لایه‌ای اثر بگذارد [۱]. α -LH‌ها موادی دو بعدی هستند، زیرا لایه‌های آن‌ها در جهت محور c در مقیاسی کمتر از یک نانومتر بوده و می‌توان آن‌ها را به دلیل دارا بودن یک بعد در مقیاس نانومتر در حوزه نانومواد (نانوورقه‌ها) طبقه‌بندی کرد. این مواد با روش‌های روسوبی یا هم‌رسوبی، هیدروترمال، هیدرولیز و غیره سنتز می‌شوند [۱]. نمک نیترات هیدروکسید روی یک هیدروکسید تک لایه‌ای است و ساختار آن‌ها شبیه به LDH است که ساختاری بروسايت مانند دارند، در لایه‌هایی به فرم شبکه مونوکلینیک با ترکیب $Zn_5(OH)_8(NO_3)_2.2H_2O$ می‌باشد [۷]. در هر لایه، یک چهارم اتم‌های روی از حفره‌های اکتاهدرال خارج شده و در حفره‌های تتراهدرال در بالا و پایین اکتاهدرال‌ها قرار می‌گیرند. بر روی هر دو کناره‌ها موقعیت‌های تتراهدرال بوسیله سه OH^- و یک مولکول H_2O احاطه شده‌اند. در نیترات هیدروکسید روی آنیون‌های نیترات در فضای بین لایه‌ای بطور آزاد قرار دارند [۷]. نیترات هیدروکسید روی، فضای بنیادی (Basal Spacing) در حدود ۹/۷ آنگستروم دارد.

مواد هیدروکسیدی لایه‌ای به علت قابلیت آن‌ها برای جایگزین شدن یا تبادل یونی با آنیون‌های مختلف، مواد مهمی هستند [۱]. انواع آنیون‌های مختلف آلی و معدنی (همچون پروپرین (Porphyrin)، پپتاید (Peptide)، دودسیل سولفات (dodecyl sulfate)، گالات، بنزوئات و غیره) می‌توانند درون فضاهای بین لایه‌ای α -LH‌ها جایگزین آنیون‌های ساده اولیه نظیر نیترات، کلراید و غیره شوند [۱]. این کار منجر به انقباض یا انبساط فواصل فضای درون لایه‌ای و شکل‌گیری مواد جدید نانوهیبریدی می‌شود [۸]. این آنیون‌ها می‌توانند به صورت تک لایه، دو لایه یا چند

ممکن است مزایای بیشتری برای یک بستر کاتالیست پیل سوختی همچون هدایت پروتون داشته باشدند [۱۶].

تحقیقات اخیر به سمت جایگزینی پلاتین روی آورده است [۱۰] که در کاتد از نانوذرات کربنی دوب شده با نیتروژن و فلزات واسطه Co و Fe جهت تسهیل در انتقال الکترون و خاصیت کاتالیستی استفاده شده است [۱۷، ۱۸]. از عوامل مهم جهت بهبود فعالیت الکتروکاتالیستی حضور نیتروژن در مقادیر بالا، تخلخل بالا و حضور گروههای عاملی مانند اکسید، هیدروکسید و غیره و علاوه بر این حضور برخی از فلزات واسطه بر روی سطح کربن است [۱۹].

در این تحقیقات از نانوذرات کربنی و پلیمره کردن پلیآنیلین به صورت یک ماده روکشی بر روی نانوکربن‌ها جهت دوب کردن نیتروژن و نیز افزایش فلزات انتقالی با استفاده از نیترات کبات (II) و یا کلرید آهن (III) به ترکیب حاصل و سپس عملیات حرارتی و در نهایت اسیدشویی نمونه جهت خارج کردن اکسیدهای فلزی آزاد استفاده شده است [۱۹]. مواد کربنی دوب شده با نیتروژن و عناصر Fe و Co فعالیت ORR را تسهیل می‌کند و اتصالات آهن و کربن نیز موجب افزایش رادیکالی در فعالیت ORR و کاهش راندمان H_2O_2 می‌شود [۱۷، ۹]. در این روش به دلیل اینکه محلولی از نمکهای فلزات تهیه می‌کنند و به نانوذرات کربن که توسط پلیآنیلین پلیمریزه شده می‌افزایند و سپس عملیات اکسید و احیاء انجام می‌دهند، موجب پر شدن تخلخل‌ها و در نتیجه کاهش سطح و راندمان می‌شود. همچنین امکان آگلومره شدن ذرات و نامناسب بودن پراکنش ذرات را سبب می‌شود و در مقابل راندمان بالای ماده حاصل، روش ساخت پیچیده و راندمان تولید کم و بنابراین روش مورد استفاده گران به نظر می‌رسد. با وجود اینکه کارهای زیادی در زمینه کاهش یا جایگزینی میزان پلاتین مصرفی در کاتد پیل سوختی پلیمری شده است اما هیچ کدام نتوانسته قیمت پیل سوختی را بطور قابل ملاحظه‌ای کاهش دهد و موجبات تجاری شدن آن را فراهم آورد. از این‌رو، روش‌های جدید تولید مواد کربنی و مواد مشابه نیاز به تحقیق بیشتر دارد.

هدف از این مطالعه تولید نانوذرات کربنی دوب شده با فلزات واسطه و نیتروژن جهت تسهیل در انتقال الکترون و خاصیت کاتالیستی در کاتد پیل سوختی پلیمری بوده است. در این

پیل سوختی معرفی شد. با کوچک کردن ذرات فلزی در بعد نانو عملکرد قابل مقایسه و بسیار بهتری نسبت به حالت بالک مشاهده شد [۱۲].

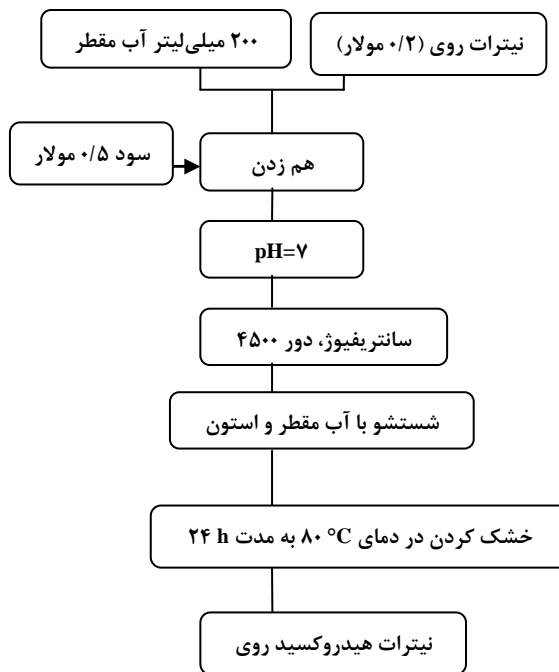
در پیل‌های سوختی اولیه مقدار پلاتین استفاده شده تا mg/cm^2 ۰/۲ کاهش یافته است [۱۳]. با این حال هنوز هم سهم زیادی از قیمت نهایی پیل به قیمت پلاتین وابسته است [۱۱]. برای افزایش سطح ویژه فعالیت الکتروشیمیایی، کاتالیست‌ها بر روی مواد با سطح ویژه بالا نشانده می‌شوند [۱۴].

امروزه از انواع مختلف کربن به عنوان بستر پیل‌های سوختی پلیمری استفاده می‌شود. علت اصلی انتخاب کربن بعنوان بستر، ویژگی‌های بی‌نظیر این ماده است که از آن جمله می‌توان به قیمت ارزان، هدایت الکتریکی بالا، مقاومت زیاد در برابر خوردگی و پایداری خوب شیمیایی اشاره کرد [۱۳].

با پخش کردن پلاتین بر روی کربن، اندازه ذرات پلاتین به حدود ۲ nm یا کمتر می‌رسد [۱۳]. در نتیجه سطح تماس‌شان بطور چشمگیری افزایش می‌یابد. علاوه بر این به علت واکنش‌های بین پلاتین و بستر، امکان دارد ساختار الکترونیکی اتم‌های پلاتین بهبود یابد که این امر باعث افزایش جزئی فعالیت کاتالیزوری می‌شود. به علاوه، این برهمکنش‌ها، موجب می‌گردد که ذرات پلاتین بر روی بستر گیر کنند، بنابراین ذرات پلاتین دیرتر آگلومره می‌شوند. کلوخه شدن ذرات پلاتین باعث کاهش سطح تماس آن‌ها می‌شود [۱۳].

به علت ویژگی‌های منحصر‌فرد نانولوله‌های کربنی، امروزه آن‌ها گزینه‌ای مناسب برای بستر پلاتین در پیل‌های سوختی پلیمری به شمار می‌روند. کاتالیزورهای پلاتین با اندازه ذرات کوچک که بطور یکنواخت بر روی انواع زمینه‌های کربنی توزیع می‌شوند، با وجود مقدار رسوب کمتر فلز، فعالیت کاتالیزوری بالایی را از خود نشان می‌دهند [۱۳].

همچنین نانوکامپوزیت‌های نانولوله‌های کربنی-کربن مزو متخلخل منظم (OMC-CNT) تهیه شده و به عنوان بستر استفاده شدند [۱۵]. تعدادی از محققان مواد بستری دیگری را همچون TiO_2 ، اکسید قلع-ایندیوم، اکسید تنگستن، یا اکسید زیرکونیا بررسی کردند. این بسترها عموماً رسانایی بالا، خواص مکانیکی بهتر و پایداری حرارتی بالاتر دارند و



شکل ۱: فلوچارت تهیه پودر نیترات هیدروکسید روی.

برای تهیه ZLNها، ابتدا باید آنیون نیتروبنزوئات تهیه شود، به این صورت که محلولی با ۰/۲ مولار نیتروبنزوئیک اسید تهیه شد و سپس سود ۴ مولار را به صورت قطره‌ای به محلول اضافه کرده تا زمانی که مقدار pH محلول به عدد ۷/۵ برسد. در این مرحله ۱ گرم از ZLNها تهیه شده را به محلول افزوده و ۸ ساعت زمان داده تا به خوبی عملیات بین‌نشینی انجام شده و سپس شستشو داده و خشک شد. پودر تهیه شده نانوهیرید نیتروبنزوئات هیدروکسید روی می‌باشد. فلوچارت این مرحله در شکل ۲ مشاهده می‌شود. پس از این مرحله پودرهای حاصله را در دماهای ۶۰۰ و ۱۰۰ °C با سرعت ۵ درجه بر دقیقه و دبی گاز ۱۰۰ میلی لیتر بر دقیقه تحت اتمسفر نیتروژن به مدت یک ساعت در کوره تیوبی قرار داده و سرانجام تا دمای اتاق تحت اتمسفر نیتروژن سرد شد. برای تهیه ماده کربنی و از بین بردن اکسیدهای فلزی، ماده حاصل از عملیات حرارتی تحت دمای ۵۰ °C در ۱ Molar HCl به مدت ۲ ساعت اسیدشوابی شد و در نهایت در خشک کن تحت دمای ۸۰ °C به مدت ۲۴ ساعت قرار گرفته و خشک شد (شکل ۳). قابل ذکر می‌باشد که عملیات حرارتی پودرهای حاصله از مرحله دوم در دمای ۹۰۰ °C نیز صورت گرفت و مشاهده شد که در این دما فلزات احیا شدند و مقدار کربن حاصله بسیار

کار به روش سنتز همرسوی [۲۰] نانوهیرید آلی-معدنی هیدروکسیدی لایه‌ای فاز آلفا را با استفاده از نیترات هیدروکسید روی ($Zn_5(OH)_8(NO_3)_2$) تولید کرده و فلزات واسطه Fe^{2+} , Ni^{2+} , Co^{2+} و Ni^{2+} را درون ساختار آن دوپ کرده و منبع کربنی نیتروبنزوئیک اسید به علت دارا بودن نیتروژن درون ساختار خود بین لایه‌های آن بین‌نشین شد، سپس نانوهیرید حاصل در دماهای ۶۰ و ۷۰ °C تحت اتمسفر خشی نیتروژن عملیات حرارتی شده و منجر به تولید مواد کربنی به همراه اکسیدهای فلزی شد. برای از بین بردن اکسیدهای فلزی حاصل، محصول اسیدشوابی شد. کاربرد ماده کربنی دوپ شده با نیتروژن به عنوان الکتروکاتالیست در کاتد پیل سوختی پلیمری بررسی شد. سادگی ساخت، ارزان بودن، غیرسمی بودن مواد اولیه، امکان بارگذاری مقدار زیاد ماده کربنی و امکان تولید مقدار زیاد کربن متخلخل و یکنواخت از مزایای این روش می‌باشد که موجب کاهش قیمت پیل و افزایش کارایی خواهد شد و موجبات تجاری شدن پیل‌های سوختی پلیمری را فراهم خواهد کرد. تولید ماده کربنی دوپ شده با نیتروژن و فلزات واسطه کمالت، آهن و نیکل به روشنی نوین در این تحقیق، گامی بلند در جهت تجاری‌سازی پیل سوختی پلیمری و یک دستاورده بزرگ علمی در زمینه تحقیقات انرژی‌های نو نه تنها در ایران بلکه در دنیا می‌باشد.

۲- فعالیت‌های تجربی

۱-۲- تهیه مواد کربنی

در این کار از مواد مصرفی با خلوص بالا استفاده شده است و همه محلول‌ها با استفاده از آب مقطر شده است. نیترات هیدروکسید روی (ZLN) با استفاده از محلول رقيق ۰/۲ مولار $Zn(NO_3)_2$ سنتز شده است. با افزودن قطره‌ای محلول $NaOH$ به محلول به $7\pm 0/۰۵$ pH شده است. برای ZLNها دوپ شده با Fe^{2+} , Ni^{2+} , Co^{2+} و Ni^{2+} نیز، $Zn(NO_3)_2$ و نمک فلزات به میزان مناسب به محلول اولیه اضافه شد. سپس بر روی رسوب حاصله سانتریفیوژ شد و چندین بار با آب مقطر و استون شستشو داده و در خشک کن تحت دمای ۷۰-۸۰ °C به مدت ۲۴ ساعت قرار گرفت. فلوچارت این مرحله در شکل ۱ مشاهده می‌شود.

۲-۲- تهیه الکترود کاتد

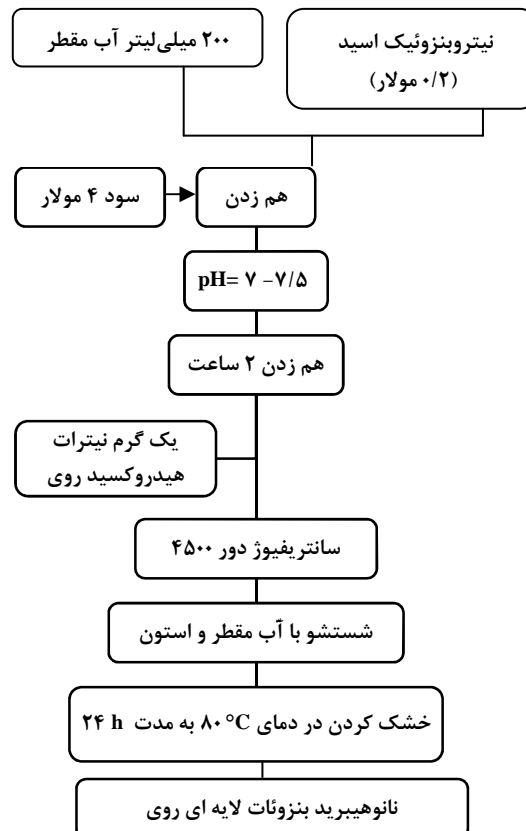
برای تهیه الکترود کاتد، ابتدا ورقه کربنی با سطح مقطع به قطر $1/3\text{ cm}$ برش داده شد. برای تهیه لایه کاتالیست با در نظر گرفتن میزان بارگذاری 3 mg/cm^2 پودر کربنی تهیه شده با ۳۰% نافیون در محلول آب و ایزوپروپانول الكل (به نسبت حجمی ۱ به ۲) مخلوط شد و برای پراکنش مواد در حلal به مدت ۳۰ دقیقه تحت تابش امواج مافق صوت قرار گرفت. سپس جوهر تهیه شده را با روش پاشش روی ورقه کربنی با سطح $1/3\text{ cm}^2$ اسپری کرده و در آون به مدت ۳۰ دقیقه تحت دمای ۸۰°C قرار داده تا خشک شود. برای ساده‌سازی اسمی نمونه‌ها، برخی اختصارات در جدول ۱ شرح داده شد.

جدول ۱: شرح برخی اختصارات به کار برده شده در مقاله.

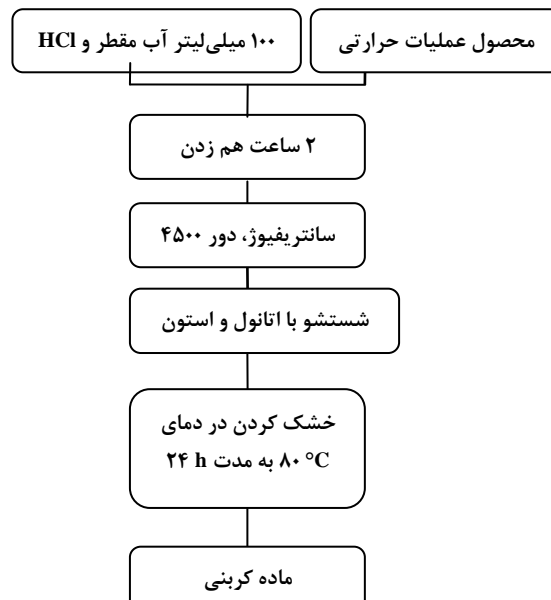
علامت اختصاری	نام نمونه
ZLH	نیترات هیدروکسید روی
ZLN	نیترات هیدروکسید روی بین نشین شده با نیتروبنزوئیک اسید
ZLN6	نانوهیرید بنزوئات روی عملیات حرارتی شده در ۶۰۰°C
ZLNC6	نانوهیرید بنزوئات روی دوب شده با کیالت و عملیات حرارتی شده در دمای ۶۰۰°C

در این کار آنالیز پراش اشعه ایکس برای شناخت فازها توسط دستگاه XRD مدل Philips PW3710 با منبع تابش تک پرتو CuK_α با طول موج $۱/۵۴\text{ \AA}$ آنگستروم با سرعت ۲ درجه بر دقیقه و جریان 30 mA در محدوده مورد نظر انجام شد. جهت بررسی خواص ساختاری، پیوندهای شیمیایی و واکنش‌های شیمیایی از دستگاه طیفسنجی تبدیل فوریه مادون قرمز (FTIR) مدل Spectrum RXI مدل Perkin Elmer استفاده شد و هر نمونه در محدوده عدد موج $4000-4000\text{ cm}^{-1}$ مورد ارزیابی قرار گرفت. برای مشاهده مورفولوژی از دستگاه میکروسکوپ الکترونی روبشی VEGA/TESCAN-XMU (SEM) مدل 15 kV استفاده شد و آنالیز عنصری توسط آنالیزکننده EDS همین دستگاه انجام شد. آنالیز LSV برای بررسی کارایی الکترودهای ساخته شده و عملکرد آن‌ها در یک سامانه سه

ناچیز بود. در نتیجه از مواد حاصله در این دما در قسمت‌های بعدی استفاده نشد.

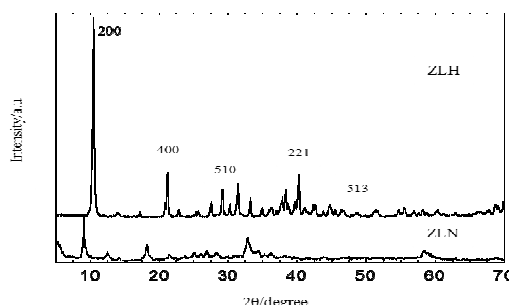


شکل ۲: فلوچارت تهیه پودر نانوهیرید بنزوئات روی.



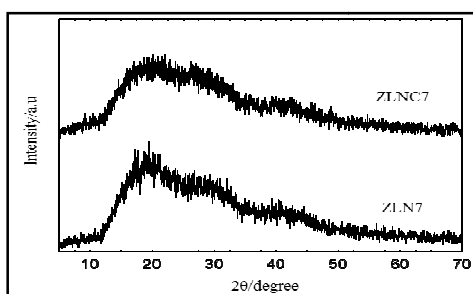
شکل ۳: فلوچارت تهیه پودر کربنی از نانوهیرید بنزوئات لایه‌ای روی.

آنگستروم و در $2\theta=5/3$ فضای بینیادی حدود $16/6$ آنگستروم در نانوهیرید مشاهده می‌شود [۴]. همچنین هیچ اثری از پیک فضای اصلی مربوط به ماده اولیه ZLH دیده نمی‌شود. این نشان می‌دهد که فرآیند تعویض یونی بین نیترات‌ها در لایه‌های ZLH بطور کامل انجام شده است [۴]. با توجه به روابط ۱ و ۲، میانگین ضخامت صفحات برای ZLN حدود 20 nm و تعداد لایه‌های این ماده حدود ۲۱ لایه می‌باشد.



شکل ۴: الگوی پراش اشعه ایکس پودر ZLN و ZLH

کاتالیست‌های کربنی دوب شده با نیتروژن با درصدهای مختلف نیتروژن با استفاده از عملیات حرارتی نانوهیریدها با انجام واکنش شیمیایی بین نیترات و گروه‌های آلی که در بین لایه‌های معدنی کیپوله شده‌اند، تولید می‌شود. شکل ۵ الگوی پراش اشعه ایکس نمونه‌های ZLN₇ و ZLNC₇ را پس از عملیات حرارتی و اسیدشویی نشان می‌دهد. همه نمونه‌ها یک پیک خیلی پهن در اطراف 21° درجه نشان می‌دهند. این پیک پهن نشان می‌دهد که مواد کربنی بطور برجسته آمورفاند و صفحات ($0.02 \text{ } \mu\text{m}$) ساختار گرافیتی مختل شده را بازتاب می‌کند [۲۳] که منجر به افزایش جاهای فعال برای تسهیل اتصال نیتروژن با ساختار کربن می‌شود [۱۹].



شکل ۵: الگوی پراش اشعه ایکس XRD نمونه‌های عملیات حرارتی شده و اسیدشویی شده.

الکترودی با دستگاه تست EG&G مدل A273 انجام شد. در انجام همه تست‌ها الکترولیت، محلول اسید سولفوریک (H₂SO₄) ۰/۵ M اشباع از گاز اکسیژن می‌باشد. سیستم سه الکترودی شامل الکترود مرجع (Ag/AgCl(KCl(s)) با محلول اشباع و الکترود کمکی از جنس ورقه پلاتینی و الکترود KCl تهیه شده به عنوان الکترود کار می‌باشد [۲۱].

۳- نتایج و بحث

۳-۱- آنالیز XRD

شکل ۴ الگوی پراش اشعه ایکس (XRD) پودر ZLN و ZLH نانوهیرید آن با آئیون نیتروبنزوئات (ZLN) را نشان می‌دهد. در ZLH یک ساختار بروسایت مانند با بلورینگی بالا با پیک‌های بازتاب با پهنای خیلی کم مشاهده می‌شود و در محدوده $2\theta=10-20^\circ$ فضای بینیادی در حدود $9/7$ آنگستروم دارد و در لایه‌هایی به فرم شبکه مونوکلینیک با ترکیب Zn₅(OH)₈(NO₃)₂.2H₂O می‌باشد (شماره کارت ۱۴۶۰-۲۴) [۲۲]. اندازه ضخامت صفحات بر اساس نمودار XRD طبق معادله دبای شرر ۱ قابل محاسبه می‌باشد. همچنین تعداد لایه‌های ماده حاصل نیز از فرمول ۲ قابل محاسبه است [۲۳].

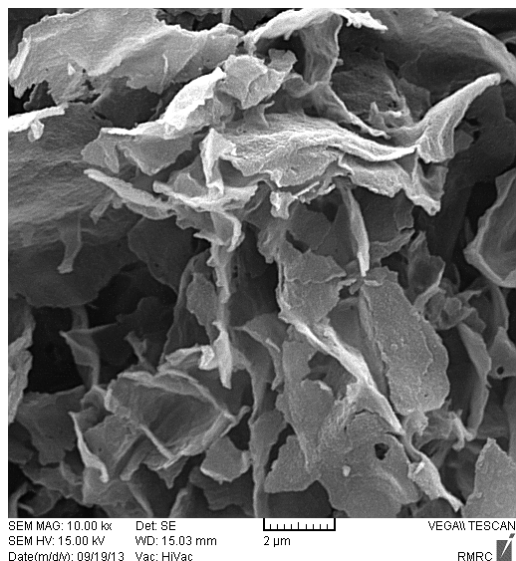
$$D = K\lambda / \beta \cos \theta \quad (1)$$

$$N = D / B.S \quad (2)$$

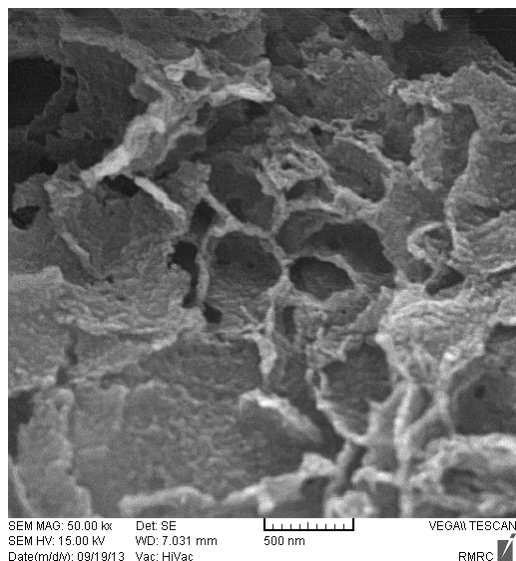
در رابطه ۱، میانگین ضخامت صفحات مواد لایه‌ای بر حسب نانومتر و λ طول موج اشعه ایکس بر حسب نانومتر و β پهنای بلندترین پیک در نصف ارتفاع بر حسب رادیان و θ زاویه تفرق بلندترین پیک بر حسب درجه می‌باشد [۲۳]. در رابطه ۲، میانگین ضخامت لایه‌ها و B.S فضای بینیادی ماده لایه‌ای و N تعداد لایه‌های می‌باشد. با توجه به روابط ۱ و ۲، میانگین ضخامت صفحات برای نیترات هیدروکسید روی حدود 50 nm و تعداد لایه‌های این ماده حدود ۵۲ لایه می‌باشد. در نمونه ZLN نیترات با آئیون‌های با اندازه بزرگتر نیتروبنزوئات جایگزین شده و زاویه پراش پیک‌های پراش بینیادی برای نمونه ZLN نسبت به همان پیک در ZLH کاهش یافته و در $2\theta=9/13$ فضای بینیادی حدود $9/6$ می‌باشد.

۳-۳- آنالیز SEM

تصویر میکروسکوپ الکترونی روبشی ZLN7 عملیات حرارتی شده در دمای 700°C ، پس از اسیدشویی در شکل ۷ نشان داده شده است. شکل ۷ الف در بزرگنمایی ۱۰۰۰۰، لایه‌ای بودن کربن تهیه شده را نشان می‌دهد و شکل ۷ ب در بزرگنمایی ۵۰۰۰، کربن با ساختار متخلخل و حاوی مقدار زیادی حفرات نانوسایز و میکروسایز را نشان می‌دهد و صفحات با سطح زبر و کوچکتر از 100 nm بطور کامل مشهود است.



(الف)

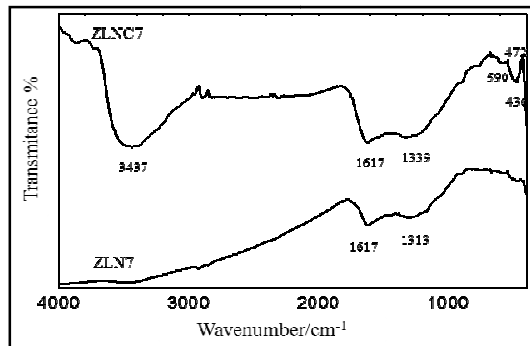


(ب)

شکل ۷: تصویر میکروسکوپ الکترونی روبشی نمونه ZLN7 الف) در بزرگنمایی ۱۰۰۰۰ و ب) ۵۰۰۰.

۴- آنالیز FTIR

شکل ۶، طیف FTIR ماده کربنی تهیه شده پس از اسیدشویی را برای نمونه‌های ZLN7 و ZLN7 نشان می‌دهد که در طیف FTIR نمونه ZLN7 پیوندی در حدود 1313 cm^{-1} مربوط به گروه‌های $\text{C}\equiv\text{N}$ مشاهده می‌شود [۶] و در حدود 1617 cm^{-1} پیوندی مربوط به آب جذب سطحی شده مشاهده می‌شود [۲۴]. طیف FTIR نمونه ZLN7 دو پیوند در 472 cm^{-1} و 436 cm^{-1} را نشان می‌دهد که به ارتعاش‌های شبکه Zn-O نسبت داده می‌شود. پیوند در 590 cm^{-1} به ارتعاش‌های شبکه Zn-OH نسبت داده می‌شود [۲۵]. جذب‌های با شدت بسیار کم در حدود 1300 cm^{-1} مربوط به گروه‌های $\text{C}\equiv\text{N}$ می‌باشد [۶]. پیوند در 1617 cm^{-1} و 3437 cm^{-1} مربوط به آب جذب سطحی شده می‌باشد. این نشان می‌دهد که در 700°C اکسید فلز ZnO هنوز در سیستم وجود دارد که البته بسیار اندک است و همین عامل باعث شده است که جذب سطحی آب نیز در این نمونه بیشتر باشد. پیک‌های جذبی دیگر اکسیدهای فلز و احیاء و دیگر گروه‌ها دیده نمی‌شود، زیرا عملیات اسیدشویی مابقی اکسیدهای فلزی را خارج می‌کند. همانطور که انتظار می‌رفت نیتروژن موجود در ساختار نیتروبنزنوئیک اسید با کربن پیوند سه گانه تشکیل داده است که این پیوندها جاهای فعال و یا تسهیل کننده واکنش ORR بوده و منجر به انتقال الکtron بهتر شده‌اند. طیف‌های FTIR این مواد به خوبی اثبات می‌کند که عواملی که در ادامه در آنالیز EDS این مواد مشاهده می‌شوند بطور عنصری در ساختار کربن وارد شده‌اند و به صورت گروه‌های اکسیدی و غیراکسیدی مجزا در ساختار قرار ندارند.



شکل ۶: طیف مادون قرمز (FTIR) نمونه‌های عمليات حرارتی شده و اسیدشویی شده.

عنصر اکسیژن مشاهده می‌شود که احتمالاً ناشی از واکنش نمونه با هوا و یا عدم خلوص گاز نیتروژن در حین عملیات حرارتی بوده است.

در نمونه ZLNC7 حدود ۰/۳۰٪ نیز عنصر کبالت که به عنوان دوپنت در این نمونه استفاده شده در نمونه کربنی ظاهر شده است که از مشارکت عنصر کبالت در لایه هیدروکسیدی اولیه به کربن وارد شده است. در هر دو نمونه حدود ۰/۱٪ نیز عنصر کلر مشاهده می‌شود که مربوط به اسید کلریدریک استفاده شده در حین مرحله اسیدشویی می‌باشد.

جدول ۲: درصد عناصر نمونه‌های ZLN7 و ZLNC7 حاصل از آنالیز EDX

(%)ZLNC7	(%)ZLN7	نام نمونه نام عنصر
۷۰/۱۶	۷۱/۷۰	C
۱۱/۱۰	۱۱/۶۶	O
۱۵/۶۶	۱۵/۰۶	N
۰/۳۰	.	Co
۱/۴۷	۱/۱۴	Cl
۱/۳۱	۰/۴۴	سایر عناصر

۵-۳- آنالیز LSV

برای بررسی رفتار سینتیکی الکترودهای تهیه شده در واکنش ORR از آنالیز ولتامتری روشی خطی

(Linear Sweep Voltammetry: LSV) استفاده شد.

شکل‌های ۹ و ۱۰ به ترتیب منحنی LSV الکترودهای ساخته شده با کربن تهیه شده از عملیات حرارتی نانوهیبرید بنزوئات روی دوب نشده و دوب شده با عناصر

واسطه در دو دمای ۶۰۰ و ۷۰۰ °C را نشان می‌دهد.

پتانسیل جریان باز تئوری (OCV) احیای استاندارد

پتانسیل اکسیژن پلاتین نسبت به یک الکترود هیدروژن

استاندارد در ۲۹۸ K و فشار اکسیژن ۱ اتمسفر

می‌باشد. مشخصه اساسی رفتار

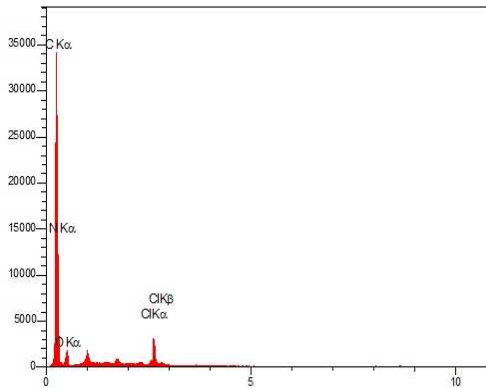
الکترود، دانسیته جریان تبادلی است، که می‌توان آن را به

عنوان سرعت واکنش اکسایش و کاهش در نظر گرفت.

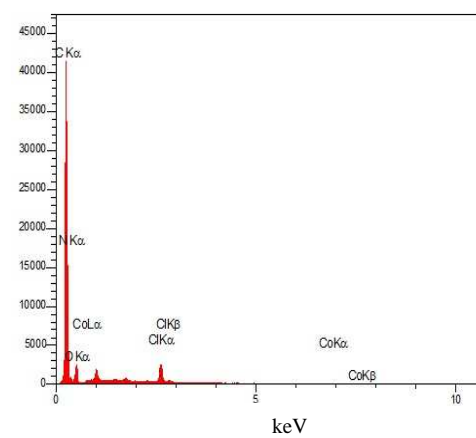
دانسیته جریان تبادلی (i_0) و شیب تافل با استفاده از

۴-۳- آنالیز EDS

شکل ۸ نشان دهنده آنالیز عنصری نمونه‌های (الف) ZLN7 و (ب) ZLNC7 می‌باشد و جدول ۲ نیز مربوط به درصد وزنی حاصل از آنالیز EDS این نمونه‌ها می‌باشد.



(الف)

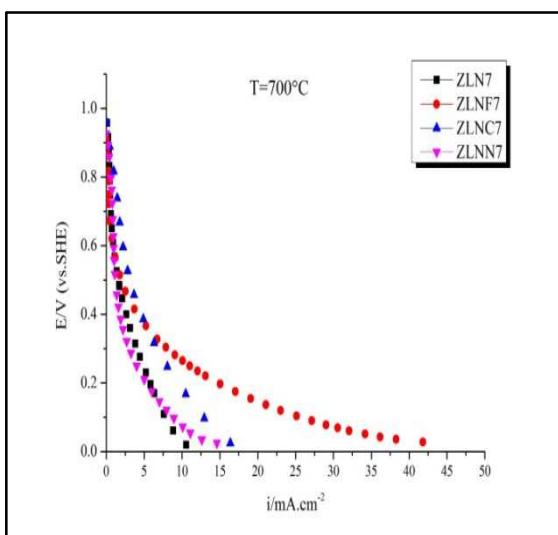


(ب)

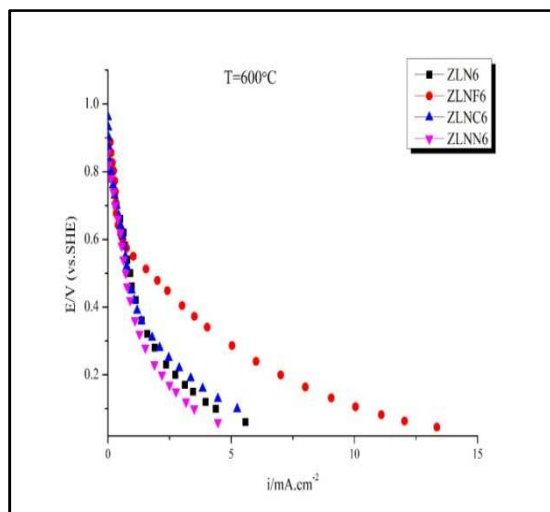
شکل ۸: آنالیز عنصری نمونه (الف) ZLN7 و (ب) ZLNC7

همانطور که مشاهده می‌شود بیشترین درصد مربوط به عنصر کربن می‌باشد و میزان کربن در این نمونه‌ها به ترتیب ۷۱/۷۰ و ۷۰/۱۶٪ می‌باشد. علاوه بر کربن، عنصر نیتروژن نیز با درصد وزنی حدود ۱۵٪ در هر دو نمونه حضور داشته که این نیتروژن ناشی از گروه‌های نیترات آنیون آلی نیتروبنزوئیک اسید و همچنین ناشی از اتمسفر نیتروژن موجود در حین عملیات حرارتی می‌باشد و همانطور که انتظار می‌رفت کربن تهیه شده حاوی نیتروژن بوده که برای تسهیل واکنش ORR و افزایش پایداری در الکترود کاتد پیل سوختی پلیمری نیاز بود. مقداری نیز

تبادلی به نسبت بالایی دارند که موجب تسهیل حرکت الکترون‌ها و واکنش ORR شده است. برای نمونه‌های عملیات حرارتی شده در دمای 700°C دانسیته جریان تبادلی بالاتر و شیب تافلی پایین‌تر و در نتیجه عملکرد الکتروشیمیایی بهتر نسبت به نمونه‌های عملیات حرارتی شده در دمای 600°C مشاهده می‌شود که نشان‌دهنده این می‌باشد که در دماهای بالاتر کارایی بهتری در پیلهای سوختی پلیمری دارد.



شکل ۹: منحنی ولتاویری روبشی خطی الکترودهای ZLN6 های عملیات حرارتی شده در دمای 600°C با بارگذاری 3 mg/cm^2 و سرعت روبش 0.5 mV/s .



شکل ۱۰: منحنی ولتاویری روبشی خطی الکترودهای ZLN6 های عملیات حرارتی شده در دمای 700°C با بارگذاری 3 mg/cm^2 و سرعت روبش 0.5 mV/s .

معادله تافل محاسبه شده و نتایج آن در جدول ۳ آورده شده است. برای بررسی معادله تافل (رابطه ۳) نمودار E (پتانسیل الکترود) بر حسب $\log i$ رسم می‌شود.

$$\eta = \frac{2.303RT}{\alpha nF} \log \left(\frac{i}{i_0} \right) \quad (3)$$

در رابطه فوق η پتانسیل مازاد، T دمای مطلق، R ثابت گازها و α ضریب انتقال یا فاکتور تقارن می‌باشد. همانطور η و i_0 دانسیته جریان و دانسیته جریان تبادلی است [۲۶]. همانطور که از شکل‌های ۹ و ۱۰ و جدول ۳ مشخص است در مقیاس الکترود هیدروژن استاندارد (SHE) مقدار OCV برای تمامی نمونه‌ها حدود $850\text{--}990 \text{ mV}$ می‌باشد. تفاوت در OCV نمونه‌ها ممکن است به علت تفاوت در فعال‌سازی سطح مربوط به اندازه و توزیع نانوذرات باشد. OCV برای نمونه ZLNN7 بالاترین مقدار است که در واقع بیشترین فعالیت کاتالیزوری را در بین نمونه‌ها داشته است. مقدار شیب تافلی نیز برای اکثر نمونه‌ها در محدوده $70\text{--}100 \text{ mV/dec}$ می‌باشد که عددی نزدیک به شیب تافلی پلاتین (بین $60\text{--}120 \text{ mV/dec}$) می‌باشد [۹]. مقدادر کوچک شیب تافلی به سینتیک بسیار سریع انتقال الکترون‌ها بر روی سطوح کاتالیست نسبت داده می‌شود. دانسیته جریان تبادلی اکثر نمونه‌ها نیز مضربی از 10^{-5} A/cm^2 یا 10^{-6} A/cm^2 و یا 10^{-7} A/cm^2 می‌باشد که عددی نزدیک به محدوده دانسیته جریان تبادلی پلاتین (مضربی از 10^{-5} A/cm^2 یا 10^{-6} A/cm^2) می‌باشد [۲۶].

بیشترین دانسیته جریان تبادلی مربوط به نمونه ZLNN7 بوده و در واقع بیشترین فعالیت کاتالیزوری را در میان نمونه‌ها داشته است. در همه الکترودها به علت تخلخل و سطح ویژه بالای کربن استفاده شده و همچنین نیتروژن موجود در ساختار کربن و بهبود فعالیت الکتروکاتالیستی، انتقال بار بهتر و واکنش ORR سریع‌تر انجام می‌شود. ولی همانطور که از شکل‌ها و نتایج مشخص است نمونه‌های دوب پ شده با فلزات آهن و کبالت و نیکل عملکرد الکتروشیمیایی بهتری نسبت به نمونه‌های بدون دوبنت به دلیل خاصیت کاتالیستی فلزات انتقالی داشته و در نتیجه شیب تافلی کم و دانسیته جریان

مربوط می‌شود، می‌باشد. OCV برای نمونه ZLNN7 بالاترین مقدار است که در واقع بیشترین فعالیت کاتالیزوری را در بین نمونه‌ها داشته است. مقدار شیب تافلی نیز برای اکثر نمونه‌ها در محدوده $70\text{--}100 \text{ mV/dec}$ می‌باشد که عددی نزدیک به شیب تافلی پلاتین (بین $60\text{--}120 \text{ mV/dec}$) می‌باشد. دانسیته جریان تبادلی تمامی نمونه‌ها نیز مضربی از 10^{-5} یا 10^{-6} A/cm^2 می‌باشد که عددی نزدیک به محدوده دانسیته جریان تبادلی پلاتین (مضربی از 10^{-5} یا 10^{-6} A/cm^2) می‌باشد. نمونه ZLNN7 کمترین شیب تافلی و بیشترین دانسیته جریان تبادلی را داشته و در واقع بیشترین فعالیت کاتالیزوری را در میان نمونه‌ها داشته است.

- در همه الکترودها به علت وجود کربن متخلخل و همچنین نیتروژن موجود در ساختار کربن، انتقال بار بهتر و واکنش ORR سریع‌تر انجام می‌شود ولی نمونه‌های دوب شده با فلزات آهن و کبالت و نیکل به دلیل خاصیت کاتالیستی فلزات انتقالی عملکرد بهتری نسبت به نمونه‌های بدون دوپنت از خود نشان می‌دهند. کربن تهیه شده در دماهای بالاتر نیز کارایی بهتری در پیل‌های سوختی پلیمری دارد.

- راحتی ساخت، ارزان بودن و غیرسمی بودن مواد اولیه، امکان بارگذاری مقدار زیاد ماده‌ی کربنی و امکان تولید مقدار زیاد کربن متخلخل موجب کاهش قیمت پیل و افزایش کارایی خواهد شد و موجبات تجاری شدن پیل‌های سوختی پلیمری را فراهم خواهد کرد.

مراجع

- [1] M.Y. Ghotbi, " α -Phase Layered Hydroxides, Synthesis, Types, Nanohybrids in: A.C. Carillo and D.A. Griego (ED.), *Hydroxides: Synthesis, Types and Applications*", Nova Science Publishers, New York, 2012, 141.
- [2] P.S. Braterman, Z.P. Xu, F. Yarberry, "In *Handbook of Layered Materials*", Editor, S.M. Auerbach, K.A. Carrado, P.K. Dutta, Marcel Dekker, New York, 2004.
- [3] G.G.C. Arizaga, K.G. Satyanarayana, F. Wypych, *Solid State Ionics*, **178**, 2007, 1143.
- [4] F. Cavani, F. Trifiro, A. Vaccari, *Catal.*, **11**, 1991, 173.
- [5] M.Z.b. Hussein, M.Y. Ghotbi, A.H. Yahaya, M.Z. Abd-Rahman, *Solid State Sci.*, **11**, 2009, 368.
- [6] G. Wu, Z. Chena, K. Artyushkovab, F.H. Garzona, P. Zelenaya, *The Electrochemical Society*, **16**, 2008, 159.
- [7] M.Y. Ghotbi, M.Z. Hussein, A.H. Yahaya, *Solid State Sci.*, **11**, 2009, 2125.
- [8] A. Yasutake, S. Aisawa, S. Takahashi, H. Hirahara, E. Narita, *Phys. Chem. Solids*, **69**, 2008, 1542.
- [9] S.P. Newman, W. Jones, *Solid State chem.*, **148**, 1999, 26.

جدول ۳: دانسیته جریان، شیب تافل، پتانسیل مدار باز در الکترودها با بارگذاری 3 mg/cm^2 .

الکترود	OCV (mV)	دانسیته جریان تبادلی $I_0 (\text{A}/\text{cm}^2)$	شیب تافل (b) (mV/dec)
ZLN6	857	1.23×10^{-6}	89
ZLNN6	869	3.6×10^{-10}	72
ZLNF6	915	9.75×10^{-7}	94
ZLNC6	961	9.19×10^{-7}	82
ZLN7	958	5.10×10^{-6}	74
ZLNN7	982	4.023×10^{-5}	86
ZLNF7	912	5.70×10^{-6}	71
ZLNC7	960	2.96×10^{-6}	86

۴- نتیجه‌گیری

- طبق نتایج XRD پودر مورد نظر سنتز شده و ماده کربنی متخلخل تهیه شده است.

- طبق نتایج EDS، علاوه بر حضور مقدار بالای کربن، مقدار کمی عنصر نیتروژن نیز در نمونه‌ها حضور داشته و در واقع کربن تهیه شده حاوی نیتروژن بوده که برای تسهیل واکنش احیای اکسیژن (ORR) و افزایش پایداری در الکترود کاتد پیل سوختی پلیمری نیاز بود.

- از کربن تهیه شده به دلیل تخلخل بالا و یکنواخت، همزمان هم به عنوان کاتالیست و هم لایه نفوذ در الکترودهای کاتد پیل سوختی پلیمری استفاده شده و موجب کاهش قیمت پیل و حذف شدن یکی از اجزا شده است. دوب کردن عناصر فلزی و نیتروژن به صورت همزمان و در ابتدا موجب پراکنش یکنواخت این مواد و همچنین جلوگیری از پر کردن تخلخل‌ها شده و کربنی با تخلخل بسیار بالا و یکنواخت تهیه می‌شود. علاوه بر این کار جدیدی انجام داده و در مقابل نیتروژن که ایجاد الکترون اضافی در سیستم می‌کند با افزودن عنصر Al به عنوان دوپنت ایجاد حفره اضافی کرده تا موجب رسانایی بهتر سیستم شده و واکنش ORR تسهیل یابد.

- در مقیاس الکترود هیدروژن استاندارد (SHE) مقدار OCV برای همه الکترودها در محدوده $17\text{--}20.85 \text{ V}$ می‌باشد. تفاوت در OCV نمونه‌ها ممکن است به علت تفاوت در فعال‌سازی سطح که به اندازه و توزیع نانوذرات

- [۲۰] علی عسجدي، بابک رئيسي، امير مقصودي پور، احسان مرزبان راد، "ستنتر و بررسی ويژگی های نانويورک $\text{La}_{0.8}\text{Sr}_{0.2}\text{MnO}_3$ به روش هم رسوبي"، مجله نانومواد، شماره ۴، ۱۳۸۸، ۲۲۱-۲۲۸.
- [۲۱] سيدرضا جعفرپور رضائي، محمود پاکشیر، "ارزيابي ساختار، خواص مکانيكى و خوردگى نانو كامبوزيت زمينه آلومينيومي تقويت شده با نانو ذرات سراميكى SiC"، نشریه نانومواد، دوره ۵، شماره ۱۵، ۱۳۹۲، ۱۹۵-۱۸۷.
- [۲۲] M.Z.B. Hussein, M.Y. Ghotbi, A.H. Yahaya, M.Z.A. Rahman, *Mater. Chem. Phys.*, **113**, 2009, 491.
- [۲۳] G. Wu, K.L. More, C.M. Jahnston, P. Zelenaya, *Science*, **332**, 2011, 443.
- [۲۴] A.C.T. Cursino, F. Wypych, *Colloid Interface Sci.*, **347**, 2010, 49.
- [۲۵] W. Stahlin, H.R. Oswald, *Acta Crystallogr B*, **26**, 1970, 860.
- [۲۶] R.S. Hsu, "Nanostructured Non-Precious Metal Catalysts for Polymer Electrolyte Fuel Cell", A thesis presented to the University of Waterloo in Chemical Engineering Waterloo, Ontario, Canada, 2010
- [10] W. Ding, Z. Wei, S. Chen, X. Qi, T. Yang, J. Hu, L. Li, *Angewandte Chemie*, **125**, 2013, 11971.
- [11] U.S. Ozkan, K. Mamtanı, D. Singh, J. Tian, J.T. Miller, *The Electrochemical Society*, **26**, 2014, 1533.
- [12] Y. Holade, N.E. Sahin, K. Servat, T.W. Napporn, K.B. Kokoh, *Catalysts*, **5**, 2015, 310.
- [۱۳] هاجر مكرمي قرطابل، "رسوبدهی الکتروشیمیایی نانوذرات پلاتین بروی نانولله‌های کربنی"، پایان‌نامه کارشناسی ارشد، دانشگاه صنعتی شریف، تهران، ۱۳۸۹.
- [14] E. Negroa, R. Latsuzbaiaa, M. Diecib, I. Boshuizena, *Applied Catalysis B: Environmental*, **166**, 2015, 155.
- [15] J.Y. Cheon, D.J. You, C. Pak, S.H. Hur, J. Kim, S.H. Joo, *J. Mater. Chem. A*, **46**, 2013, 2034.
- [16] R.D. Braun, *Chem. Educ.*, **65**, 1988, 336.
- [17] G. Wu, C. Dai, *Materials Chemistry*, **20**, 2010, 3059.
- [18] G. Wu, P. Zelenay, *The Electrochemical Society*, **21**, 2014, 951.
- [19] H. Shi, Y. Shen, F. He, Y. Li, A. Liu, Y. Zhang, *J. Mater. Chem. A*, **2**, 2014, 15704.